



FAN: | ЮҚОРИ КУЧЛАНИШ
ТЕХНИ КАСИ

ТЕМА
07

ЮҚОРИ КУЧЛАНИШДИ КУЧ
КАБЕЛЛАРНИ ИЗОЛЯЦИЯСИ



Музафаров Шавкат Мансурович

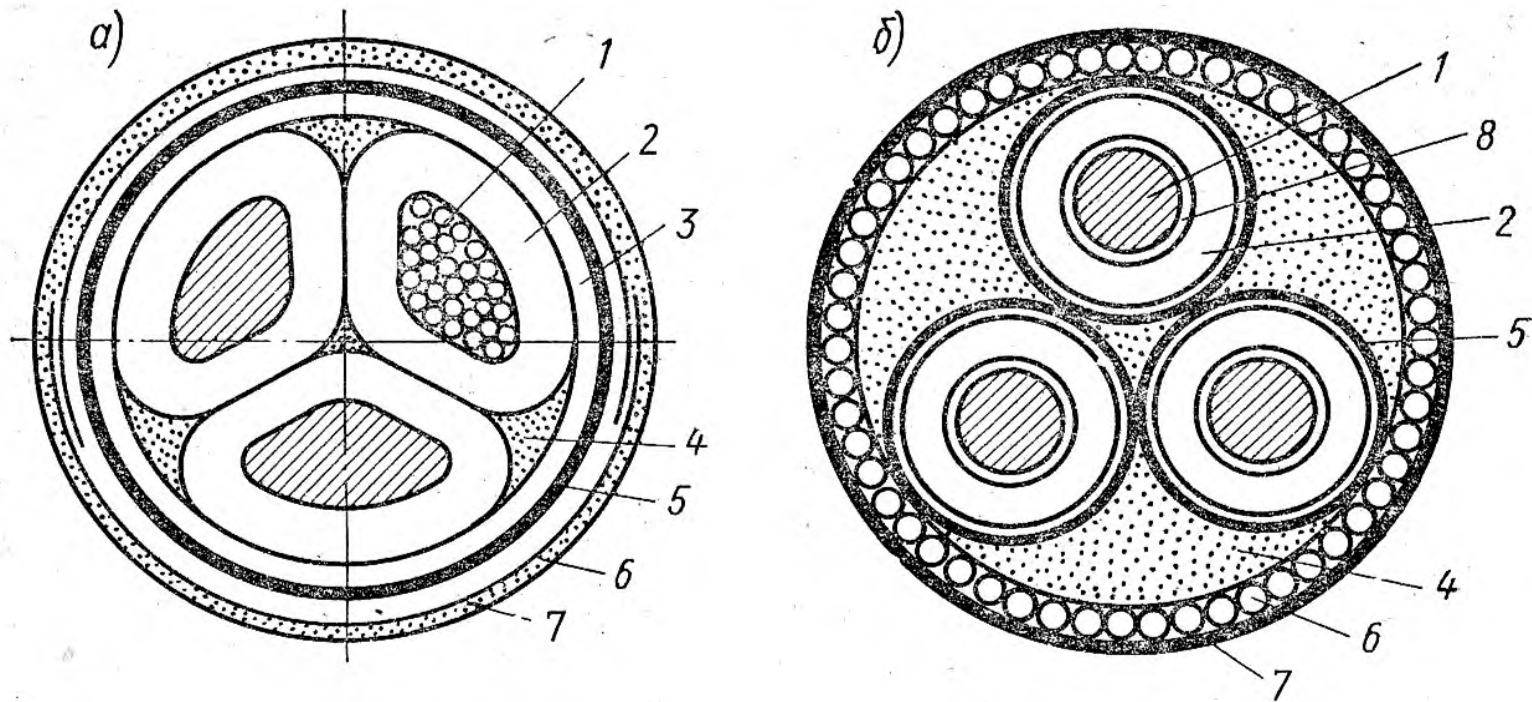


Электр таъминот ва қайта тикланувчан
энергия манбалари кафедраси
профессори

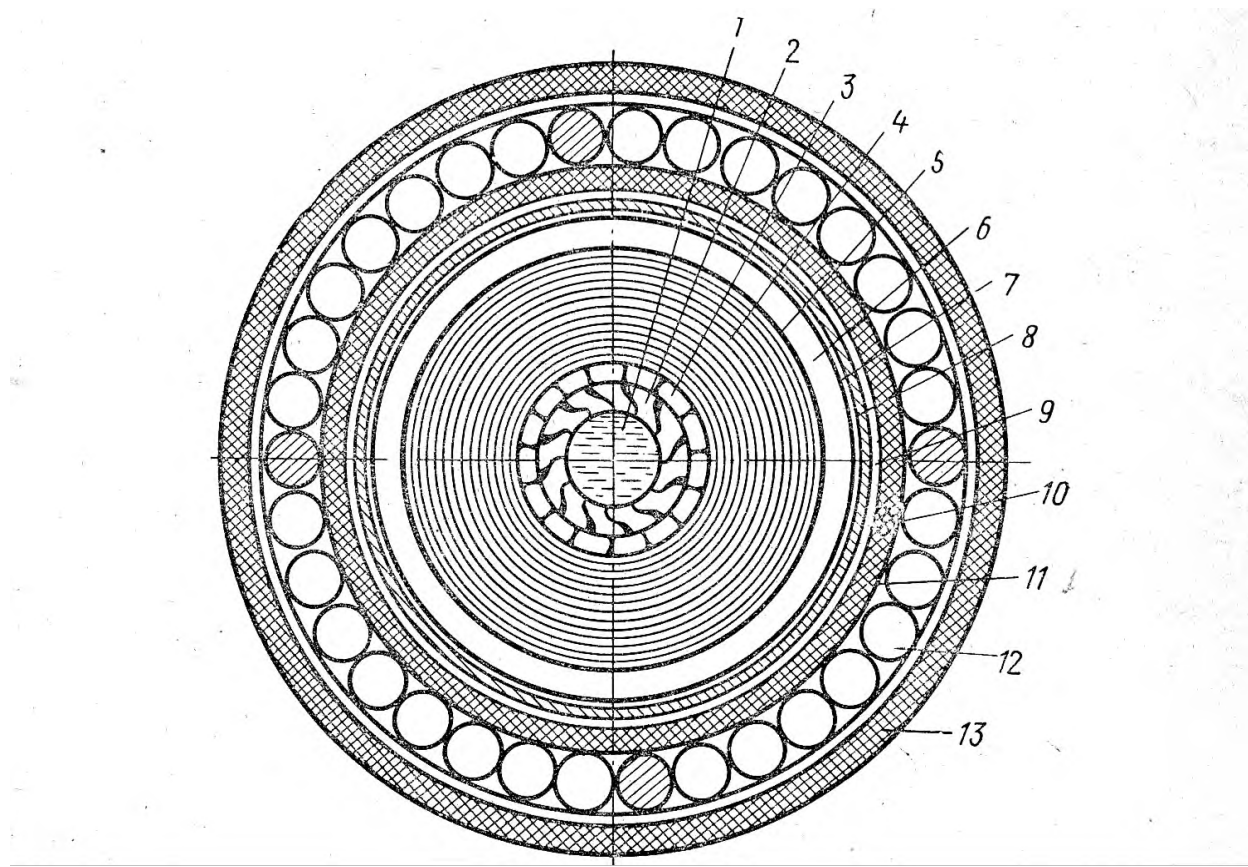


РЕЖА:

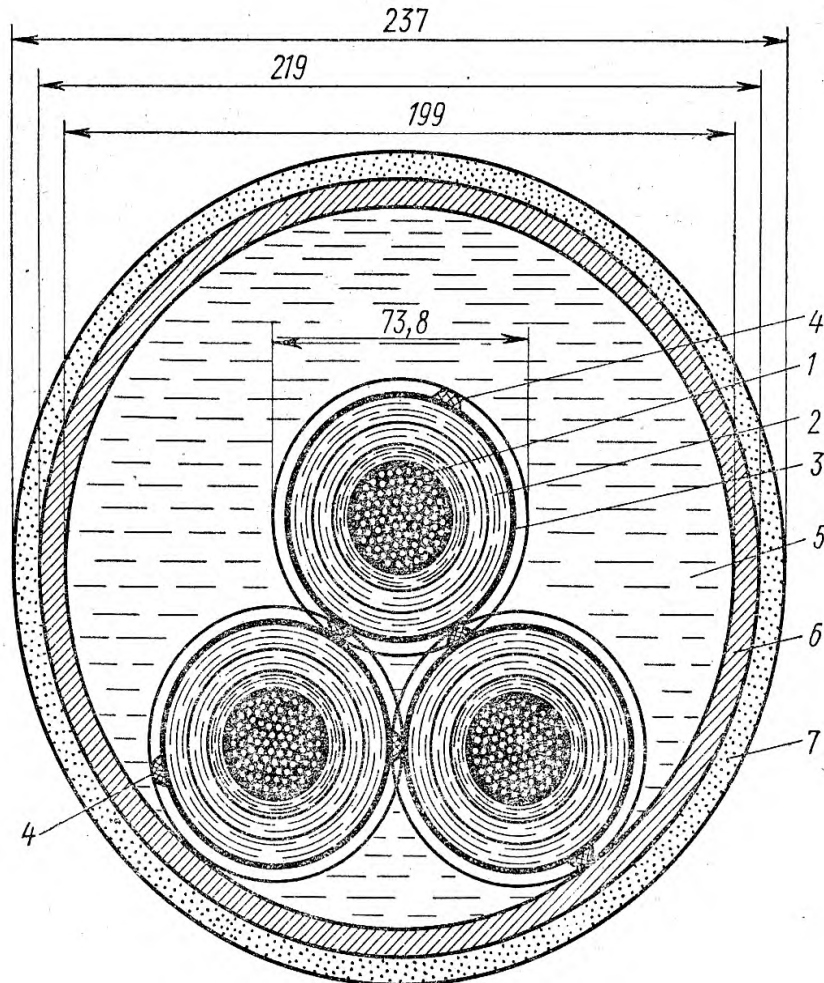
- Кабелларни ташқи ва ички изоляцияларни түзилиши.
- Ўрта босимли мой билан тўлдирилган кучланиши 110 кВ ли кабеллар.
- Юқори босимли мой билан тўлдирилган кучланиши 220 кВ ли пулатли трубали кабеллар.
- Элегаз изоляцияли кабельлар.
- Кабелларни изоляцияларини хисоби .



Коишкокли тулдиргичли уч симли кабель: а- 10 кВли секторли симлар ва белгили изоляцияли; б-алохиди кургошин билан копланган (ОСБ турдаги) ; 1-ток үтказадиган сим; 2-фазали изоляция; 3-белгили изоляция; 4-джутли тұлдиргич; 5-кургошинли катлам; 6-броня; 7-зайнашдан қарши катлам; 8-ярим үтказадиган когоздағы экран

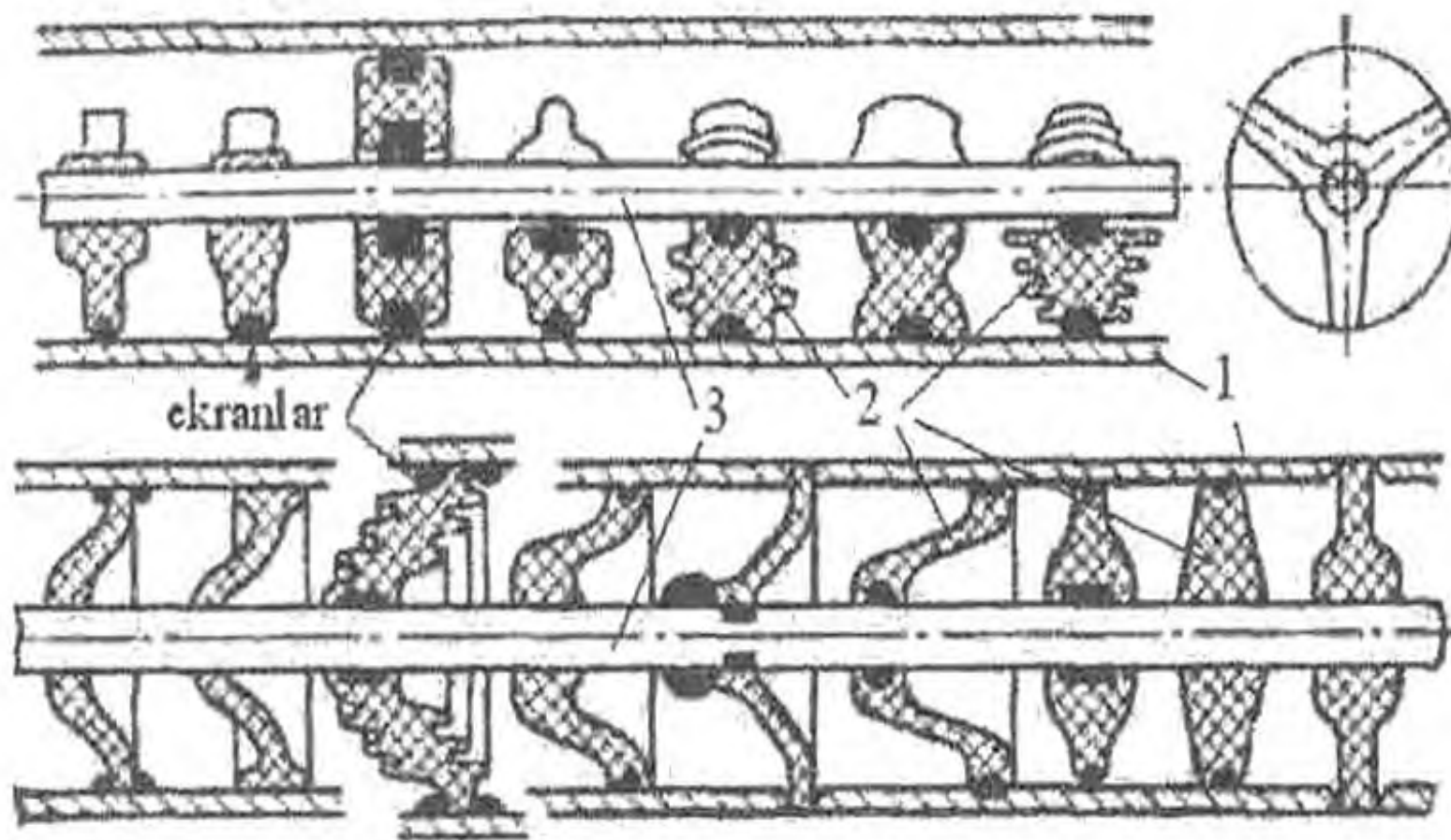


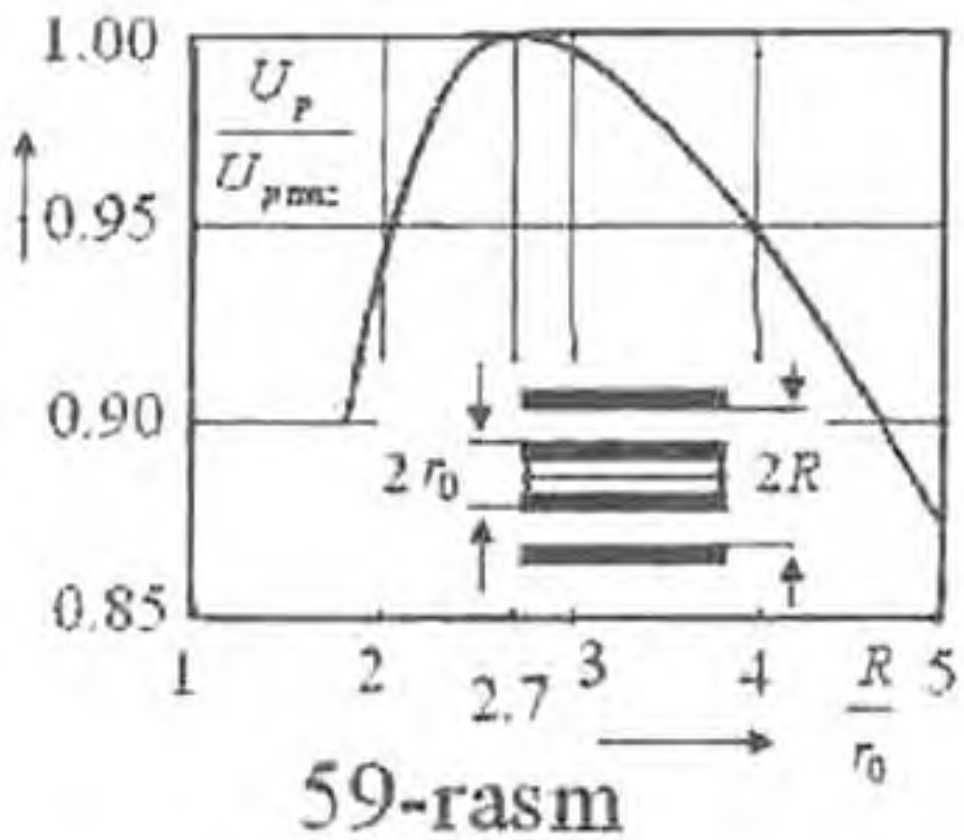
Кучланиш 110 кВ мой билан түлдирилган ўрта босимли кабел: 1-мойни ўтказадиган канал; 2-токни ўтказадиган сим; 3- уч каватли яримүтказадиган когоздан экран ; 4-когоз изоляцияси; 5- уч каватли яримүтказадиган когоздан экран; 6- мисланган кургошинли катлам; 7...11,13-химоялаш катламлар; 12-пулат ва мис симлардан химоялаш катлам



Пулатли трубада мой билан тулдирилган юқори босимли 220 кВ ли кабел: 1-ток үтқазиш сим; 2-хар-хил калинлик ва зичлигига эга бўлган когоз изоляция; 3-мисли перфорацияланган лента; 4-ярим айланмали сирпаниш симлар; 5 –мой; 6 – пўлатли труба; 7-зайнашдан қарши химоялаш қатлам

Изоляция элегазли кабельни схемаси





Для одножильных кабелей с экранированной цилиндрической жилой напряженность поля в изоляции в точке на расстоянии r от оси равна $E_r = U/r \ln(r_2/r_1)$, где U — напряжение между жилой и свинцовой оболочкой; r_1 и r_2 — внутренний и наружный радиусы изоляции.

По толщине изоляции E изменяется от своего максимального значения у поверхности жилы $E_{\max} = U/r_1 \ln(r_2/r_1)$ до наименьшего значения у оболочки

$$E_{\min} = U/[r_2 \ln(r_2/r_1)].$$

$$E_{\min} = U/[r_2 \ln(r_2/r_1)].$$

Если не изменять наружного радиуса r_2 , изменяя лишь внутренний радиус r_1 , то напряженность у поверхности внутреннего электрода E_{\max} будет иметь наименьшее значение при $r_2/r_1 = e = 2,72$. Поэтому в кабелях обычно отношение r_2/r_1 выбирают близким к этому значению.

В кабелях с экранированными секторными жилами напряженность на поверхности жилы в наиболее нагруженных точках можно приближенно вычислить по формулам С. М. Брагина.

Напряженность поля у внутреннего ребра жилы в точке A (рис. 15.36) может быть определена по формуле

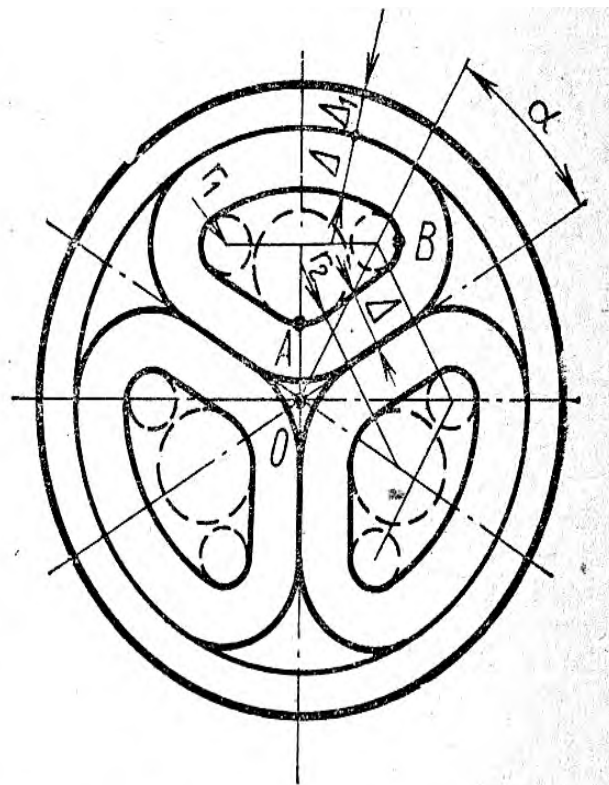


Рис. 15.36. К расчету напряженностей электрического поля в кабеле с секторными жилами

$$E_{\max A} = \frac{U_\phi}{r_2 \ln [(r_2 + 1, 16\Delta)/r_2]},$$

где Δ — толщина изоляции жилы; r_2 — радиус закругления внутреннего ребра секторной жилы. Напряженность поля у внешнего ребра в точке B (см. рис. 15.36) находится по формуле

$$E_{\max B} = \frac{U_\phi \sqrt{(v+4)/v}}{2r_1 \ln \frac{\sqrt{v+4} + \sqrt{v}}{\sqrt{v+4} - \sqrt{v}}},$$

где r_1 — радиус закругления внешнего ребра; при толщине поясной изоляции $\Delta_1 = \Delta$ величина $v = 2\Delta/r_1$.

Жила кабеля скручивается из большого числа проволок. Если поверхность жилы не экранирована, то напряженность на ее поверхности вследствие искажения поля увеличивается по сравнению со значением E_{\max} . Это увеличение напряженности равно

$$\frac{E'_{\max}}{E_{\max}} = \frac{\zeta}{m + \frac{\ln (\zeta/m)}{\ln (r_2/r_1)}},$$

где E'_{\max} и E_{\max} — максимальная напряженность на поверхности скрученной жилы и на поверхности гладкой жилы; m — число проволок в наружном повиве жилы; r_1 и r_2 — радиусы оболочки и жилы кабеля; параметр

$$\zeta = \frac{1 + m \sin (\pi/m)}{\sin (\pi/m)}.$$

С увеличением числа проволок m в наружном повиве отношение $E'_\text{макс}/E_\text{макс}$ стремится к пределу, равному 1,318, т. е. в этом случае увеличение напряженности может достигнуть 32% (рис. 15.37). Для ослабления этого эффекта поверхность жилы покрывается экраном из полупроводящей бумаги.

Для выравнивания распределения напряжения по толщине изоляции в кабелях высших классов напряжения изоляция жилы разбивается на несколько слоев, имеющих различные диэлектрические проницаемости. При этом используется связь между плотностью бумаги и диэлектрической проницаемостью ϵ_6 :

$$\epsilon_6 = \frac{\epsilon_m \epsilon_k}{\epsilon_k (1-a) + \epsilon_m a},$$

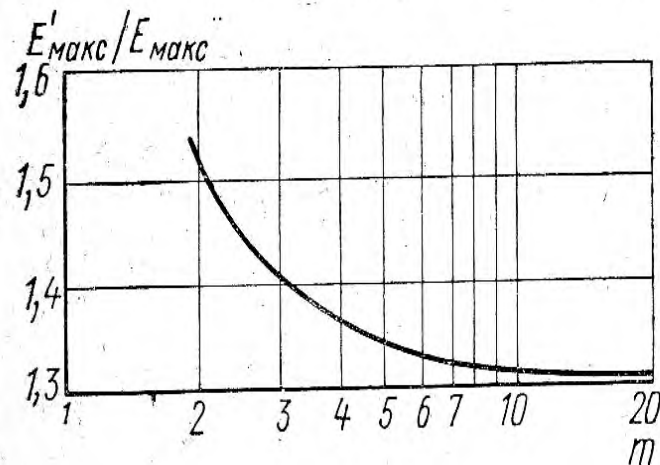


Рис. 15.37. Зависимость $E'_\text{макс}/E_\text{макс}$ от числа проволок m в наружном повиве жилы

где ϵ_m — диэлектрическая проницаемость пропитывающего состава (масла), равная $2,2 \epsilon_0$; ϵ_k — диэлектрическая проницаемость клетчатки, рав-

ная $7 \epsilon_0$; a — удельное объемное содержание пор в бумаге; $a = 1 - \gamma_b/\gamma_k$; γ_b — плотность бумаги; γ_k — плотность клетчатки, равная $1,55 \text{ г/см}^3$.

При изменении плотности от 0,7 до $1,3 \text{ г/см}^3$ относительная диэлектрическая проницаемость пропитанной минеральным маслом бумаги изменяется от 3,5 до 4,6. Обычно бумага с большей плотностью имеет меньшую толщину. Поэтому при градировании изоляции у жилы кабеля, где возникает максимальная напряженность, располагают слои из более тонких бумаг, при этом уменьшаются толщины масляных прослоек δ_m .

Наивыгоднейшим условием градирования является равенство наибольших напряженностей во всех слоях. Если изоляция имеет n слоев, то наибольшая напряженность в k -м слое с внутренним радиусом r_k и диэлектрической проницаемостью ϵ_k определяется выражением

$$E_{k \text{ макс}} = \frac{U}{\left(r_k \epsilon_k \sum_{i=1}^n \frac{1}{\epsilon_i} \ln \frac{r_{i+1}}{r_i} \right)}, \quad (15.53)$$

где U — напряжение между жилой и оболочкой кабеля; r_i , r_k — внутренний радиус i -го и k -го слоев; ϵ_i , ϵ_k — диэлектрическая проницаемость i -го и k -го слоев; r_1 и r_{n+1} — наружный радиус жилы и внутренний радиус оболочки кабеля.

Как видно из (15.53), для того чтобы наибольшие напряженности в слоях были одинаковыми, необходимо выполнить условие $r_k \epsilon_k = \text{const}$.

АДАБИЕТЛАР:

1. Alston, L.L., High Voltage Technology, Oxford University Press, Oxford (2007).
2. Seely, S., Electromagnetic Fields, McGraw-Hill, New York (2003).
3. Kuffej, E. and Zaengl, W.S., High Voltage Engineering Fundamentals, Pergamon Press, Oxford (2004).
4. Hamidov N. Yuqori kuchlanish texnikasi va izolytsiya.-T.: «Fan va texnologiya», 2012, 200 b.
5. Г.Н. Александров, В.Л. Иванов М.В. Костенко Техника высоких напряжений. Под редакц. М.В. Костенко. М.: Высшая школа. 1993.- 528 с.



E'TIBORINGIZ UCHUN RAHMAT!



Музаров Шавкат Мансурович



Электр таъминот ва қайта тикланувчан
энергия манбалари кафедраси
профессори



+ 998 71 237 1968